

ФГБУ «Арктический и антарктический научно-исследовательский институт»

МЦД МЛ

Информационные материалы по мониторингу морского ледяного покрова национального парка «Русская Арктика» на основе данных ледового картирования и пассивного микроволнового зондирования SSMR-SSM/I-SSMIS

09.09.2013 -17.09.2013 (№31)

Контактная информация:

лаб. МЦДМЛ ААНИИ, тел. +7(812)337-3149, эл.почта: wdc@aari.ru

Адрес в сети Интернет: <http://wdc.aari.ru/datasets/>

Содержание

	Стр.
Рисунок 1 – Обзорная ледовая карта акватории нац. парка «Русская Арктика» за текущую неделю	3
Рисунок 2 – Положение кромки льда (районов безледокольного плавания) и сплоченных льдов акватории нац. парка «Русская Арктика» за последние сутки	4
Рисунок 3 – Положение кромки льда (районов безледокольного плавания) в МЕТЗОНах XX-XXI на 1200 UTC за текущие сутки	5
Рисунок 4 – Обзорная ледовая карта акватории нац. парка «Русская Арктика» за текущую неделю и аналогичные периоды 2007-2012	6
Рисунок 5 – Ежедневные оценки сезонного хода ледовитости для акватории нац. парка «Русская Арктика» за период с 26.10.1978 по последние сутки по годам на основе расчетов по данным SSMR-SSM/I-SSMIS, алгоритм NASATEAM.	7
Рисунок 6 – Медианные распределения сплоченности льда за текущие 7 и 30-дневные периоды и её разности относительно медианного распределения за те же интервалы времени относительно периодов 1979-2013 и 2003-2013 годов	9
Таблица 1 – Динамика изменения значений ледовитости по сравнению с предыдущей неделей для акваторий нац. парка «Русская Арктика»	10
Таблица 2 - Медианные значения ледовитости для акваторий нац. парка «Русская Арктика» за за текущие 7 и 30-дневные периоды и её аномалии от 2007-2012 гг. и интервалов 2003-2013 гг. и 1978-2013 гг. по данным наблюдений SSMR-SSM/I-SSMIS, алгоритм NASATEAM	11
Характеристика исходного материала и методика расчетов	13

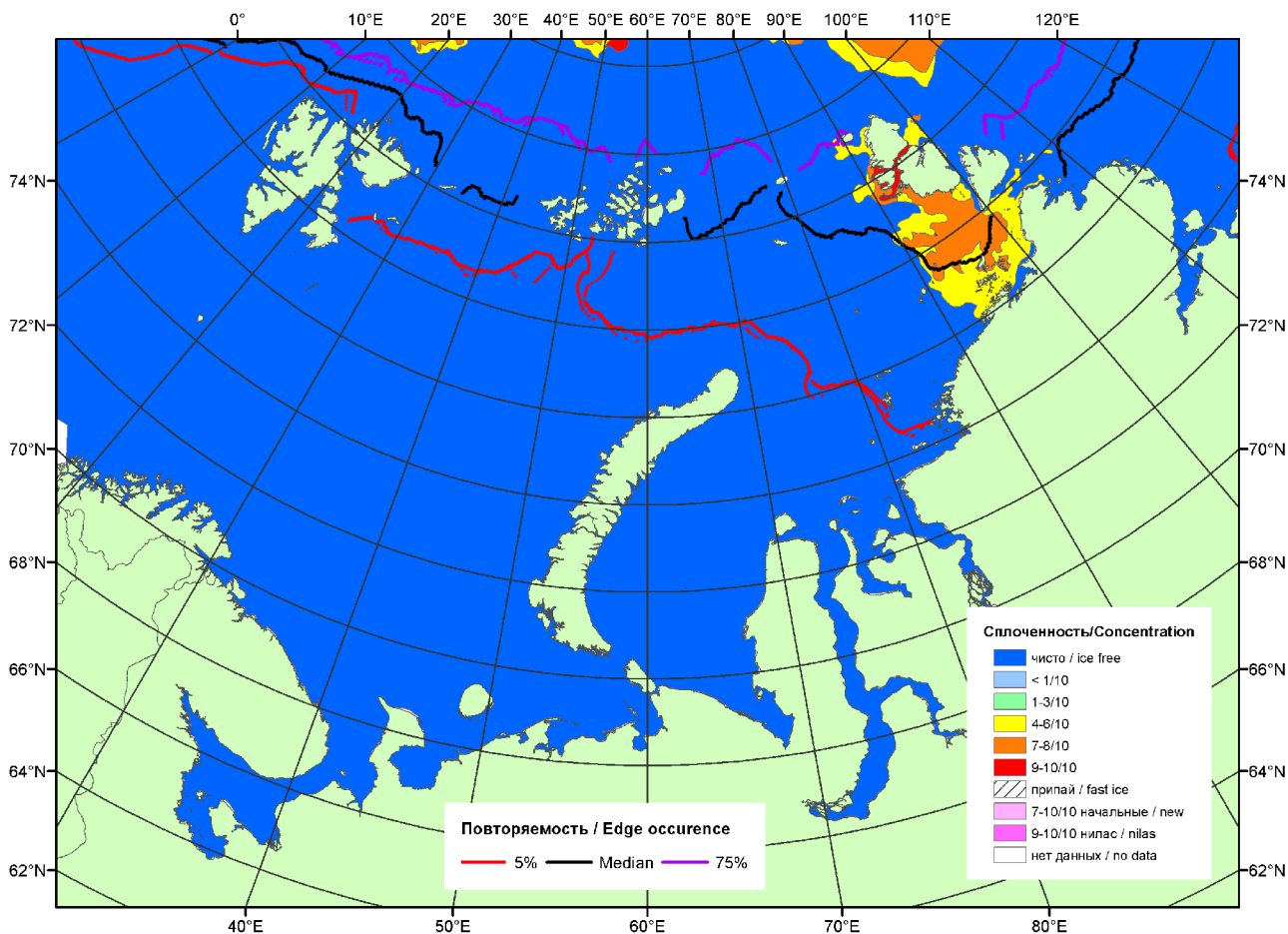


Рисунок 1 – Обзорная ледовая карта акваторий нац. парка «Русская Арктика» за 17.09.2013 г. на основе ледового анализа ААНИИ (17.09.2013) и повторяемость кромки за 16-20.09 за период 1979-2012 гг. по наблюдениям SSMR-SSM/I-SSMIS (алгоритм NASATEAM).

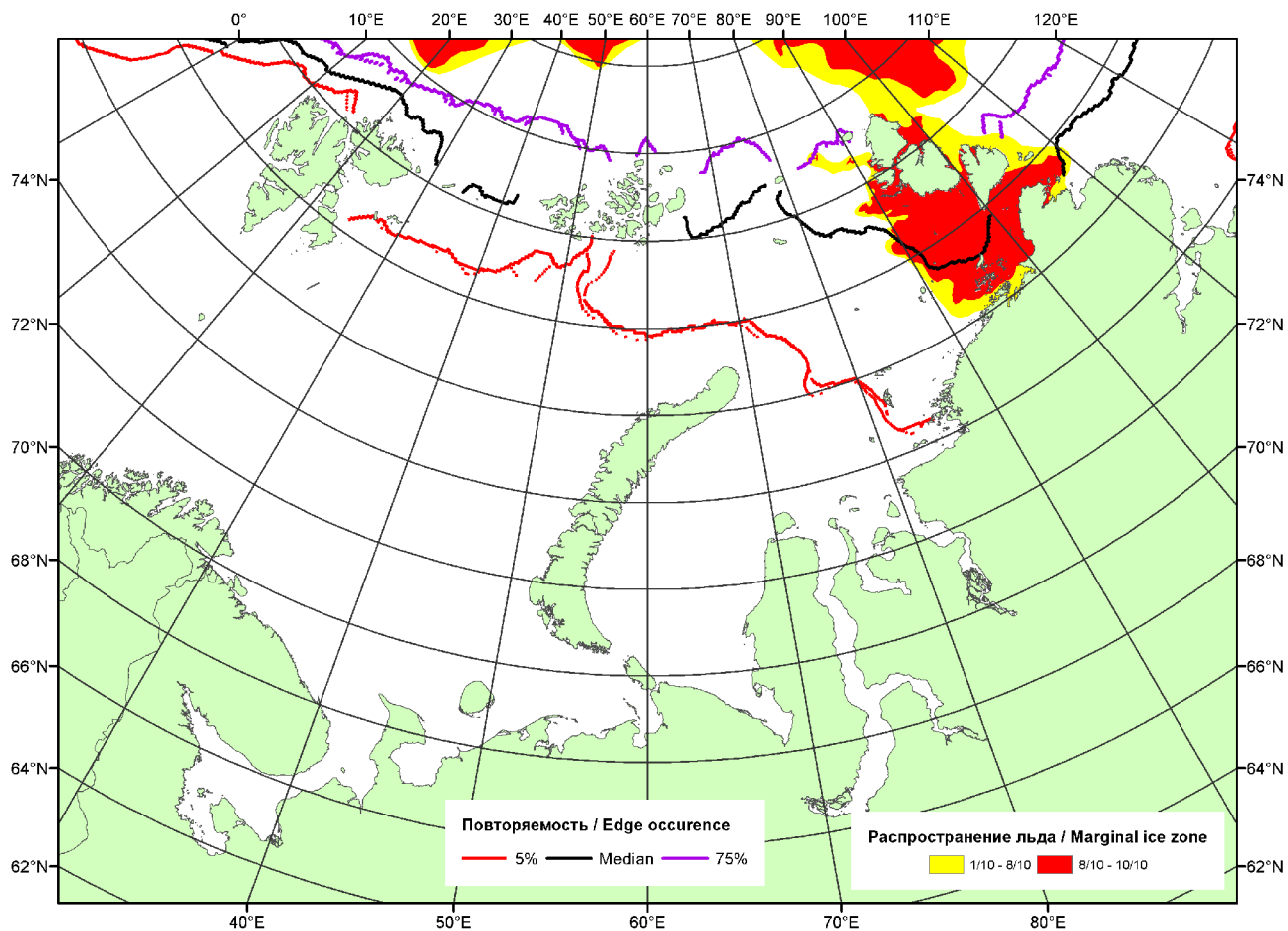


Рисунок 2 – Положение кромки льда (районов безледокольного плавания) и сплошных льдов акваторий нац. парка «Русская Арктика» за 16.09.2013 г. на основе ледового анализа Национального Ледового Центра США и повторяемость кромки за 16.09-20.09 за период 1979-2012 гг. по наблюдениям SSMR-SSM/I-SSMIS (алгоритм NASATEAM)

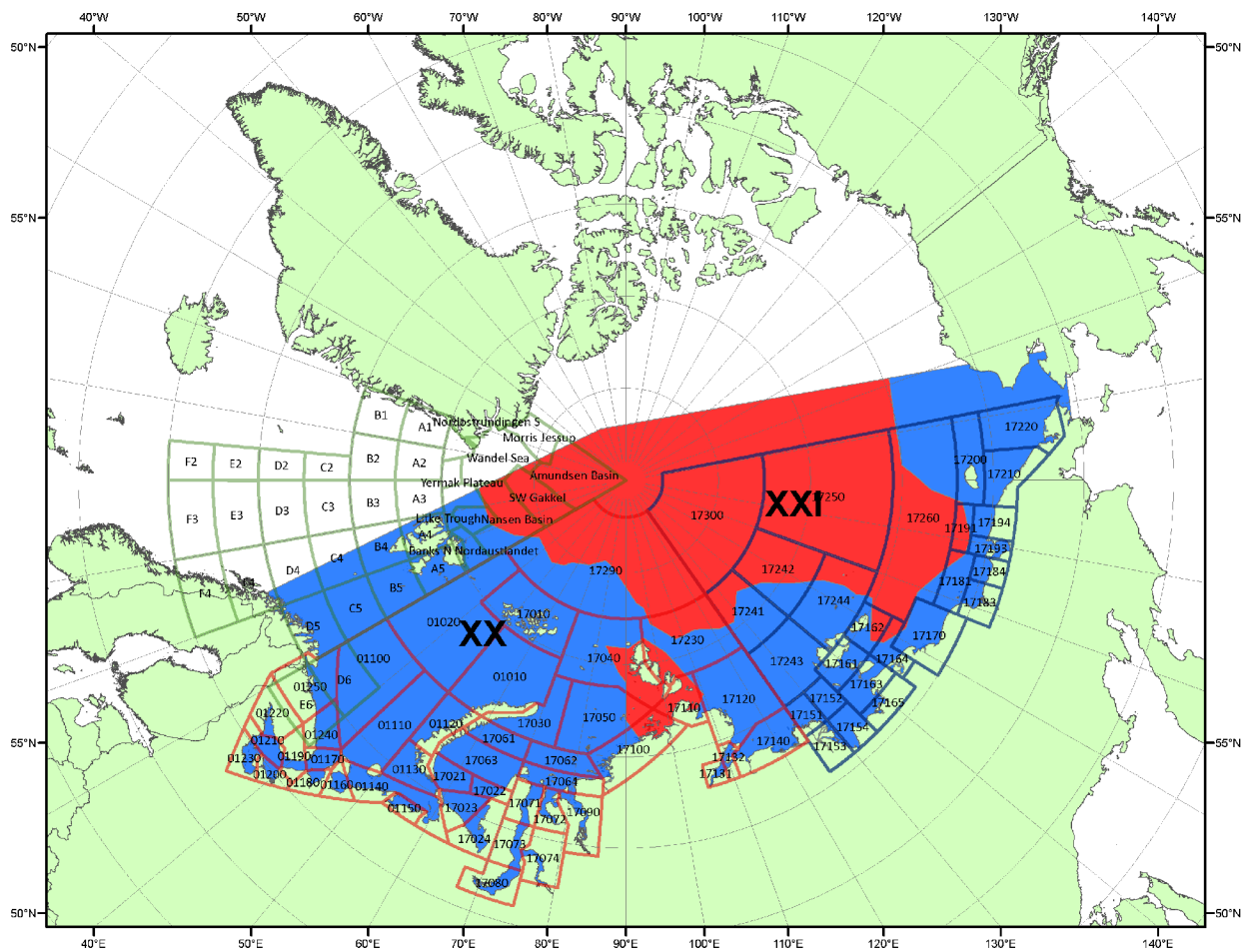
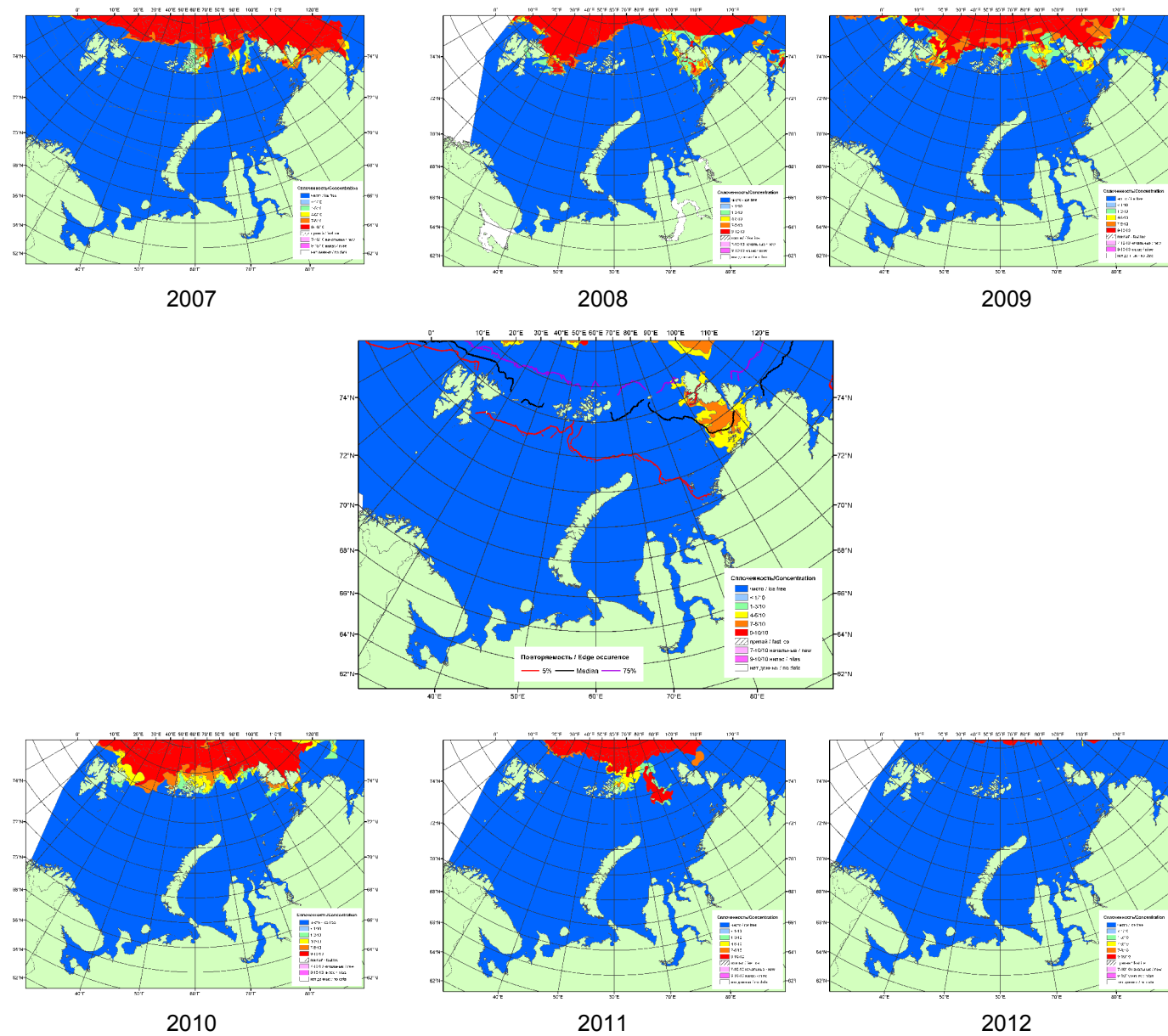
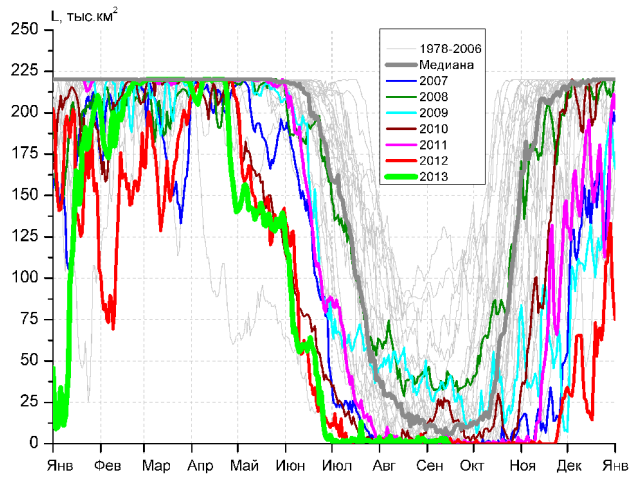
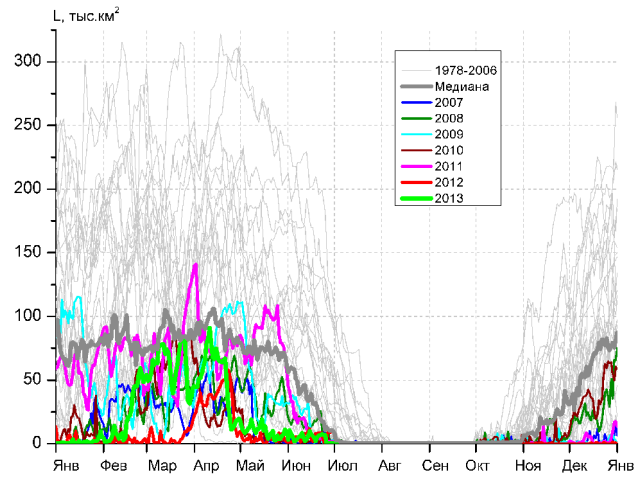


Рисунок 3 – Положение кромки льда (районов безледокольного плавания) в МЕТЗОНах XX-XXI на 17.09.2013 1200UTC

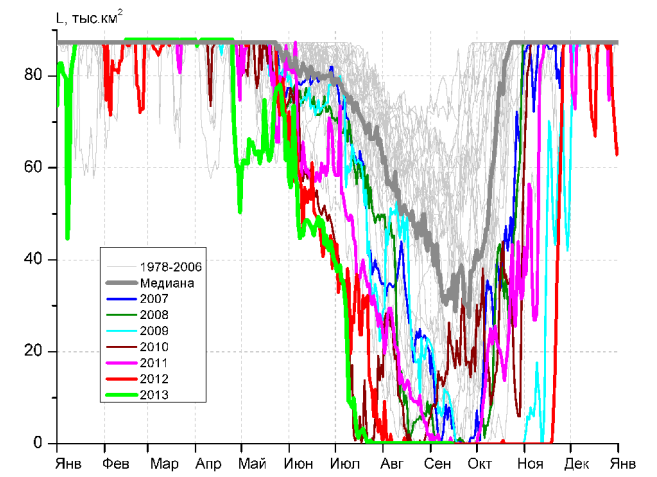




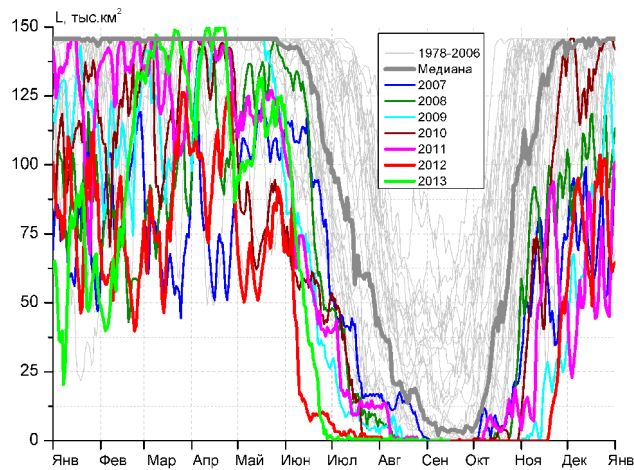
СЗ Баренцева моря (район I)



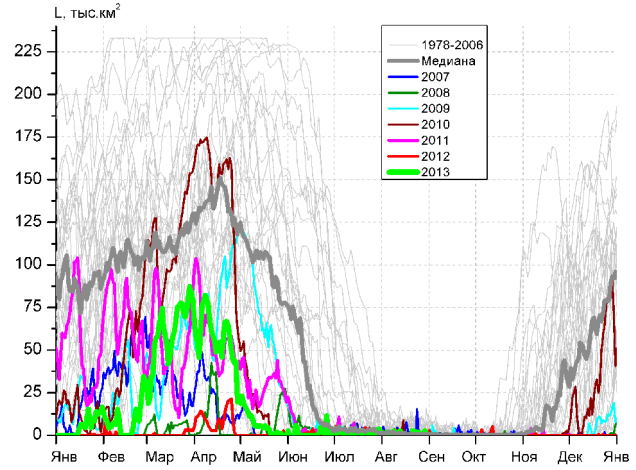
З Баренцева моря (район II)



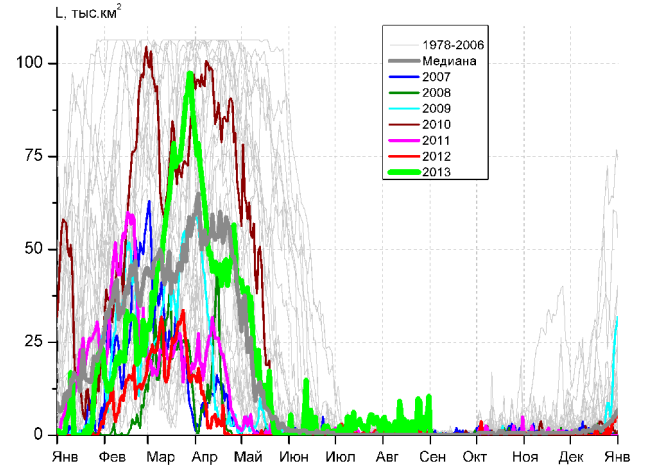
Прибрежные воды ЗФИ (район III)



СВ Баренцева моря (район IV)



В Баренцева моря (V район)



ЮВ Баренцева моря (район VI)

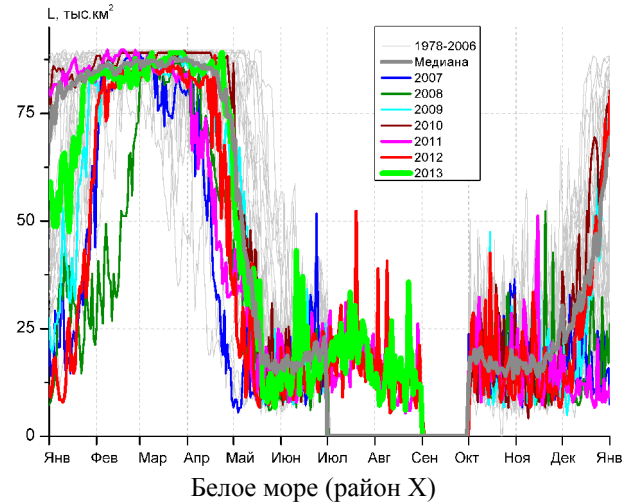
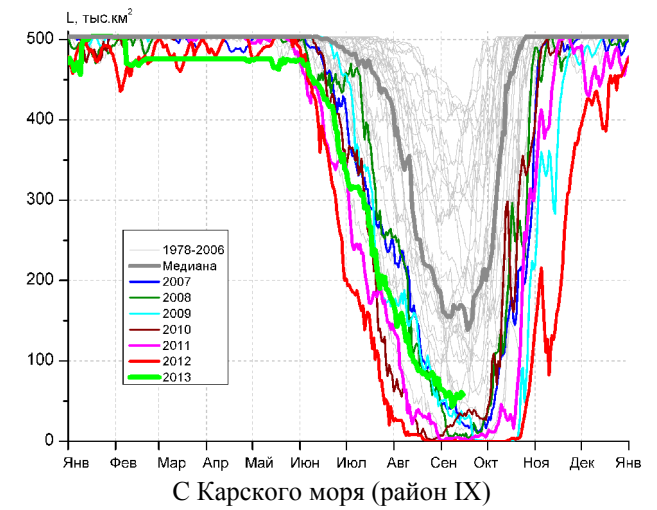
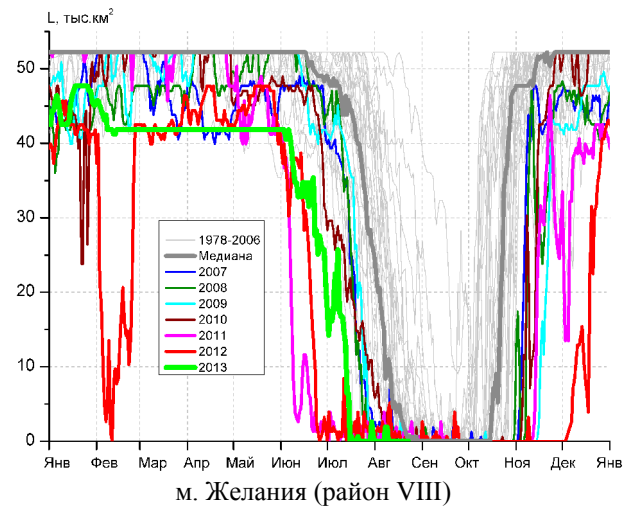
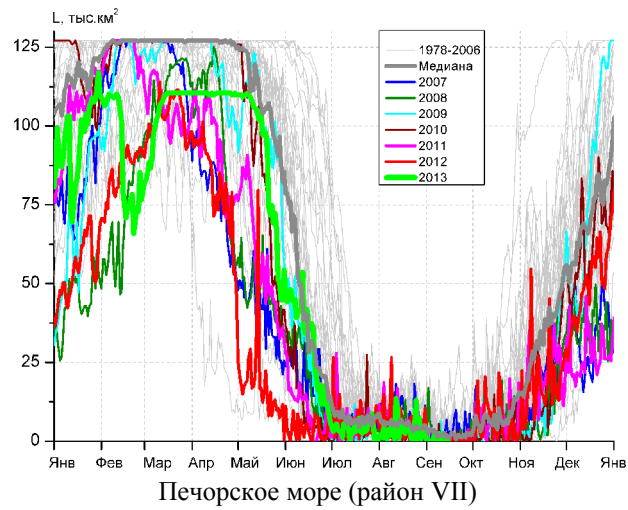


Рисунок 5 – Ежедневные оценки сезонного хода ледовитости для акваторий (рис.7) нац. парка «Русская Арктика» за период 26.10.1978 - 15.09.2013 по годам на основе расчетов по данным SSMR-SSM/I-SSMIS, алгоритм NASATEAM.

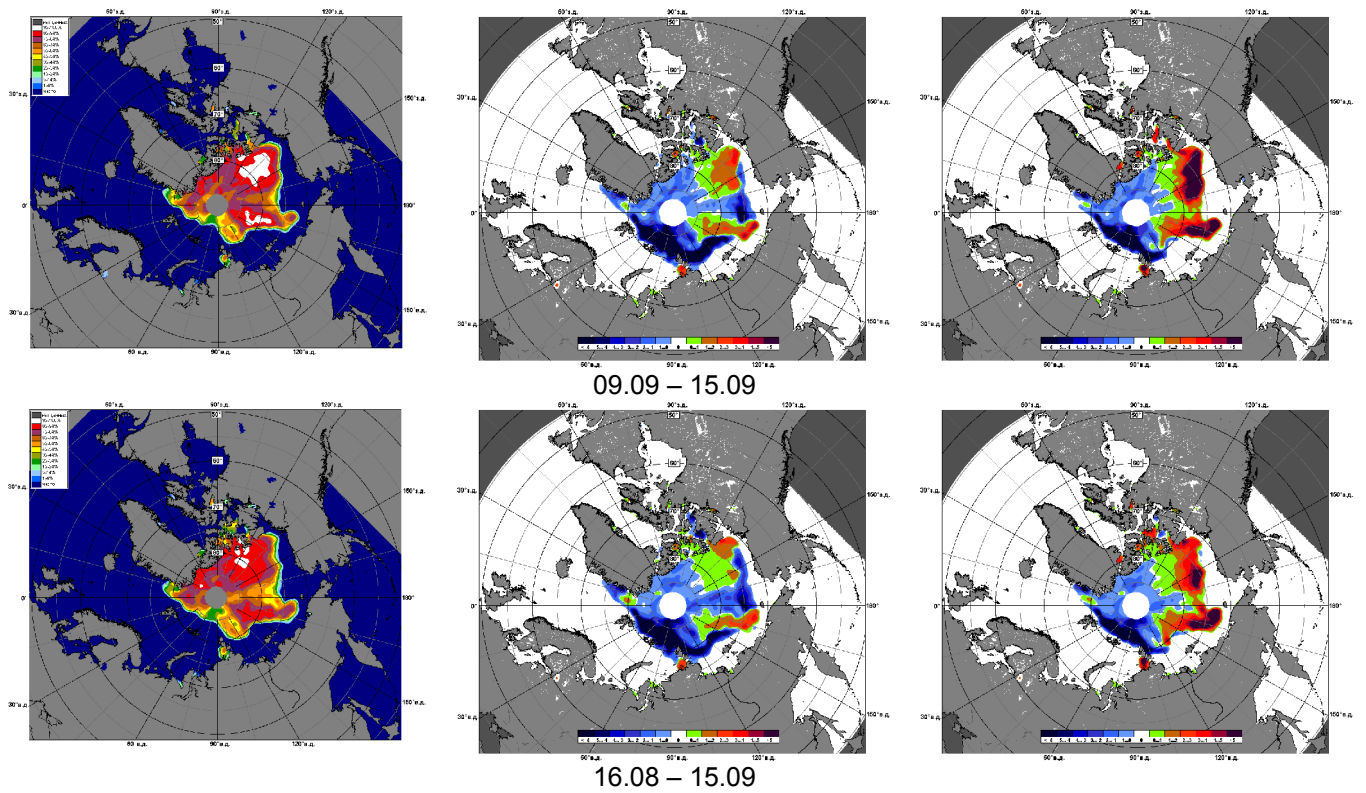


Рисунок 6 – Медианные распределения сплоченности льда за текущие 7 и 30-дневные промежутки 2013 г. (слева) и её разности относительно медианного распределения за те же месяца за периоды 1979-2013 (центр) и 2003-2013 гг. (справа) на основе расчетов по данным SSMR-SSM/I-SSMIS, алгоритм NASATEAM.

Таблица 1 – Динамика изменения значений ледовитости по сравнению с предыдущей неделей для акваторий (рис.7) нац. парка «Русская Арктика» за 9 – 15 сентября 2013 г. по данным наблюдений SSMR-SSM/I-SSMIS

09-15.09				
Регион	СЗ Баренцева моря (I)	З Баренцева моря (II)	Прибрежные район ЗФИ (III)	СВ Баренцева моря (IV)
Разность	0.4	0.0	0.0	0.1
тыс.кв.км/сут.	0.1	0.0	0.0	0.0
09-15.09				
Регион	В Баренцева моря (V)	ЮВ Баренцева моря (VI)	Печорское море (VII)	Мыс Желания (VIII)
Разность	-0.2	0.0	0.6	0.0
тыс.кв.км/сут.	0.0	0.0	0.1	0.0
09-15.09				
Регион	С Карского моря (IX)	Белое море (X)		
Разность	-2.4	0.0		
тыс.кв.км/сут.	-0.3	0.0		

Таблица 2 - Медианные значения ледовитости для акваторий (рис.7) нац. парка «Русская Арктика» за 7-дневный (неделя) и 30-дневный промежутки времени и её аномалии от 2008-2012 гг. и интервалов 2003-2013 гг. и 1978-2013 гг. по данным наблюдений SSMR-SSM/I-SSMIS, алгоритм NASATEAM
09-15.09

Регион	S, тыс. км ²	Аномалии, тыс км ² /%							1978-2013гг			
		2008 г	2009 г	2010 г	2011 г	2012 г	2003-2013гг	1978-2013гг	Минимум дата	Максимум дата	Среднее	Медиана
СЗ Баренцева моря (I)	1.8	-35.6	-33.7	-23.3	-1.3	0.8	-13.0	-17.1	0.0	131.2	18.9	5.2
		-95.2	-95.0	-92.9	-41.6	73.6	-87.9	-90.6	09.09.1984	12.09.1989		
З Баренцева моря (II)	0.0	0.0	0.0	0.0	0.0	0.0	0.0	0.0	0.0	1.3	0.0	0.0
		-	-	-	-	-	-	-100.0	09.09.1979	13.09.1984		
Прибрежные район ЗФИ (III)	0.0	0.0	-9.6	-17.9	-0.2	0.0	-13.1	-31.6	0.0	80.1	31.6	26.3
		-	-100.0	-100.0	-100.0	-	-100.0	-100.0	09.09.2008	09.09.1982		
СВ Баренцева моря (IV)	0.1	0.1	0.1	0.1	0.1	0.1	-3.9	-15.2	0.0	82.1	15.3	3.3
		-	-	-	-	-	-97.9	-99.4	09.09.1984	09.09.1982		
В Баренцева моря (V)	0.0	0.0	0.0	-0.1	-0.3	-0.2	-0.3	-1.0	0.0	7.7	1.0	0.0
		-	-	-100.0	-100.0	-100.0	-100.0	-100.0	09.09.1979	15.09.1987		
ЮВ Баренцева моря (VI)	0.0	0.0	0.0	-0.1	0.0	0.0	-0.2	-0.2	0.0	2.5	0.2	0.0
		-	-	-100.0	-	-	-100.0	-100.0	09.09.1979	14.09.2004		
Печорское море (VII)	1.1	0.5	-0.5	-0.2	1.0	0.9	-0.6	-1.8	0.0	19.4	2.9	1.9
		102.7	-33.0	-13.8	1150.0	525.0	-37.6	-63.0	09.09.2002	09.09.1998		
Мыс Желания (VIII)	0.0	0.0	0.0	0.0	-0.5	-0.3	-0.1	-1.2	0.0	32.3	1.2	0.0
		-	-	-	-100.0	-100.0	-100.0	-100.0	09.09.1979	09.09.1980		
С Карского моря (IX)	54.8	46.9	25.0	25.3	51.1	54.6	-28.2	-123.4	0.0	430.2	178.2	160.5
		591.2	83.8	86.0	1398.4	29407.7	-34.0	-69.2	09.09.2012	10.09.1981		
Белое море (X)	0.0	0.0	0.0	0.0	0.0	0.0	0.0	0.0	0.0	0.0	0.0	0.0
		-	-	-	-	-	-	-	09.09.1979	09.09.1979		

16.08-15.09

Регион	S, тыс. км ²	Аномалии, тыс км ² /%							1978-2013гг			
		2008 г	2009 г	2010 г	2011 г	2012 г	2003-2 013гг	1978-2 013гг	Минимум дата	Максимум дата	Среднее	Медиана
СЗ Баренцева моря (I)	1.4	-36.4	-35.6	-10.6	-0.1	-0.1	-13.7	-20.2	0.0	131.2	21.6	9.2
		-96.2	-96.1	-88.0	-8.4	-7.8	-90.5	-93.3	16.08.1984	12.09.1989		
З Баренцева моря (II)	0.0	0.0	0.0	0.0	0.0	0.0	0.0	0.0	0.0	6.4	0.0	0.0
		-	-	-	-	-	-	-100.0	16.08.1979	03.09.1989		
Прибрежные район ЗФИ (III)	0.0	-3.4	-18.1	-7.3	-4.6	0.0	-14.4	-35.3	0.0	80.1	35.3	41.4
		-100.0	-100.0	-100.0	-100.0	-	-100.0	-100.0	16.08.2012	09.09.1982		
СВ Баренцева моря (IV)	0.1	0.1	0.1	0.1	-0.2	0.1	-3.8	-19.0	0.0	98.4	19.1	7.9
		-	500.0	-	-54.8	-	-96.5	-99.3	16.08.1984	16.08.1982		
В Баренцева моря (V)	0.5	0.4	0.1	0.4	0.2	0.3	-0.1	-1.0	0.0	16.0	1.5	0.6
		272.1	33.3	400.0	77.8	113.3	-22.4	-66.2	16.08.1982	30.08.1991		
ЮВ Баренцева моря (VI)	1.9	1.8	1.9	1.9	1.8	1.8	1.6	1.7	0.0	10.5	0.3	0.0
		1838.7	4908.3	4908.3	1441.0	1152.1	398.9	632.2	16.08.1979	31.08.2013		
Печорское море (VII)	2.2	-0.6	0.0	1.4	0.2	0.0	-1.1	-2.3	0.0	27.6	4.5	3.1
		-21.7	-0.1	175.7	11.6	-1.3	-33.4	-51.6	17.08.2006	22.08.1993		
Мыс Желания (VIII)	0.0	-0.1	-0.2	-0.1	-0.5	-0.3	-0.2	-3.6	0.0	52.2	3.6	0.0
		-100.0	-100.0	-100.0	-100.0	-100.0	-100.0	-100.0	16.08.1990	17.08.1980		
С Карского моря (IX)	69.7	21.0	7.1	55.5	54.9	68.5	-27.6	-136.0	0.0	490.6	205.7	182.5
		43.3	11.4	393.2	373.6	5767.7	-28.4	-66.1	24.08.2012	16.08.1991		
Белое море (X)	7.8	7.8	7.8	7.8	2.1	1.5	6.0	7.2	0.0	35.8	0.6	0.0
		-	-	-	37.4	23.0	332.9	1277.4	16.08.1979	23.08.2013		

Характеристика исходного материала и методика расчетов

Для иллюстрации ледовых условий Арктического региона представлены совмещенные региональные карты ААНИИ (Баренцево, Карское, Лаптевых) и, при необходимости, ГМЦ России (Белое море) и Национального ледового центра США – НЛЦ (циркумполярная ледовая карта). Совмещение карт выполнено путем перекрытия слоев (ААНИИ, верхний слой) – (ГМЦ, средний слой) – (НЛЦ, нижний слой). Для построения совмещенных карт использовался архив данных в формате СИГРИДЗ Мирового центра данных по морскому льду (МЦД МЛ). В пределах отдельного месяца выборка карт из архива проводилась по критериям близости интервала времени между картами ААНИИ и НЛЦ в 1 сутки (день недели выпуска карт ААНИИ и ГМЦ – каждый вторник, НЛЦ – 1 раз в 2 недели по понедельникам для циркумполярных карт).

Для иллюстрации ледовых условий Арктики за последние сутки используются данные ледового анализа о распределении сплоченных льдов и положении кромки НЛЦ США.

Для цветовой окраски карт использован стандарт ВМО (WMO/Td. 1215) для зимнего (по возрасту) и летнего (по общей сплоченности) периодов. Следует также отметить, что в зонах стыковки карт ААНИИ, ГМЦ и НЛЦ наблюдается определенная несогласованность границ и характеристик ледовых зон вследствие ряда различий в ледовых информационных системах ААНИИ, ГМЦ и НЛЦ. Однако, данная несогласованность незначительна для целей интерпретации ледовых условий в рамках настоящего обзора.

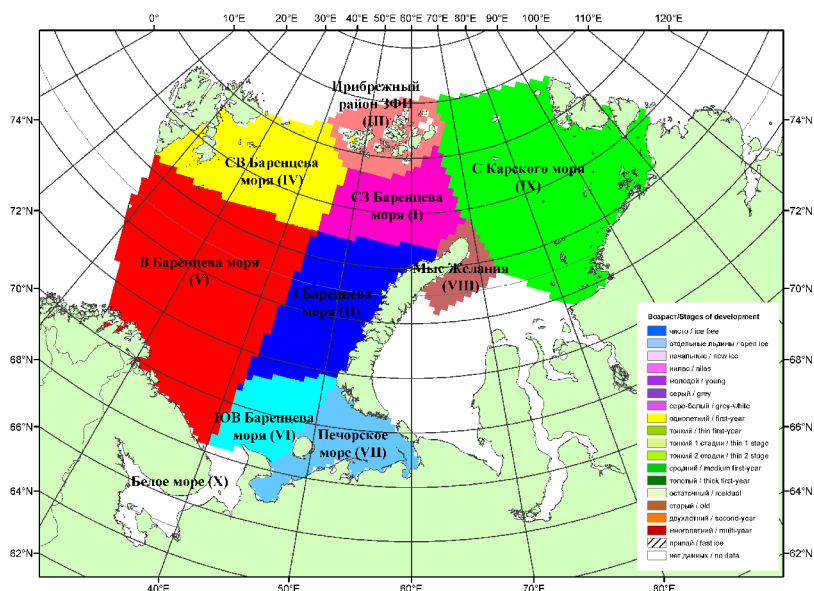


Рисунок 7 – Принятое районирование (акватории) национального парка «Русская Арктика» для расчета ледовитостей

Для получения оценок ледовитости и климатического положения кромок заданной повторяемости на основе данных спутниковых систем пассивного микроволнового зондирования SSMR-SSM/I-SSMIS в МЦД МЛ ААНИИ принята следующая технология расчетов:

- источник данных – архивные (Cavalieri et al., 2008, Meier et al., 2006) и квазиоперативные (Maslanik and Stroeve, 1999) с задержкой 1-2 дня ежедневные матрицы (поля распределения) оценок общей сплоченности Северной Полярной Области (севернее 45° с.ш.) по алгоритму NASATEAM за период с 26.10.1978 г. по настоящий момент времени, копируемые с сервера НЦДСЛ;
- область расчета – Северная Полярная область и её регионы с использованием масок океан/суша НЦДСЛ (http://nsidc.org/data/polar_stereo/tools_masks.html) и региональных масок ААНИИ;
- вычислительные особенности расчета – авторское программное обеспечение ААНИИ с сохранением точности расчетов и оценке статистических параметров по гистограмме распределения и свободно-распространяемое программное обеспечение GDAL для векторизации полей климатических параметров.

Исходная информация в формате ВМО СИГРИДЗ доступна на сервере МЦД МЛ по адресам <http://wdc.aari.ru/datasets/d0004> (карты ААНИИ), <http://wdc.aari.ru/datasets/d0033> (карты ГМЦ), <http://wdc.aari.ru/datasets/d0032> (карты НЛЦ).

В графическом формате PNG совмещенные карты ААНИИ-КЛС-НЛЦ доступны по адресу

<http://wdc.aari.ru/datasets/d0040>.

Результаты расчетов ледовитости Северной, Южной полярных областей, отдельных меридиональных секторов и морей доступны также на сервере МЦД МЛ АНИИ (<http://wdc.aari.ru/datasets/ssmi/data/>).

Cavalieri, D., C. Parkinson, P. Gloersen, and H. J. Zwally. 1996, updated 2008. *Sea Ice Concentrations from Nimbus-7 SMMR and DMSP SSM/I Passive Microwave Data*, [1978.10.26 – 2007.12.31]. Boulder, Colorado USA: National Snow and Ice Data Center. Digital media.

Meier, W., F. Fetterer, K. Knowles, M. Savoie, M. J. Brodzik. 2006, updated quarterly. *Sea Ice Concentrations from Nimbus-7 SMMR and DMSP SSM/I Passive Microwave Data*, [2008.01.01 – 2008.03.25]. Boulder, Colorado USA: National Snow and Ice Data Center. Digital media.

Maslanik, J., and J. Stroeve. 1999, updated daily. *Near-Real-Time DMSP SSM/I-SSMIS Daily Polar Gridded Sea Ice Concentrations*, [2008.03.26 – present moment]. Boulder, Colorado USA: National Snow and Ice Data Center. Digital media.